

## 液相分離用 高分子膜의 合成\*

金 啓 用 · 金 亨 重

漢陽大 工大 工業化學科

(1981년 9월 3일 접수)

## Synthesis of Polymer Membrane for Separation of Liquid Mixtures

Kea Yong Kim and Hyung Joong Kim

Dept. of Industrial Chemistry, College of Engineering,  
Hanyang University, Seoul 133, Korea

(Received September 3, 1981)

**要約：**poly- $\gamma$ -methyl-L-glutamat(PMLG) 膜의 透水性, 水溶性溶質의 分離性能 및 血液適合性을 檢討하였다. 製造한 膜의 狀態에서 分子사슬은  $\alpha$ -helix 구조를 取하고 있음을 IR로 確認하였다. 透水性 實驗結果 透水性은 温度의 上昇과 壓力이 증가함에 따라 直線的으로 증가하였으며 流體力學的 透過系數  $K_w$ 를 Arrhenius plot하여 그 기울기로부터 活性化에너지 9.16kcal/mole을 얻었다. 溶質排除率 實驗에서 分子量 20,000 以上인 溶質은 거의 透過하지 않음을 알았다. 膜性能은 製膜溫度와 热處理溫度가 50~60°C인 標準에서 우수하였다. 또한 PMLG의 血液適合性도 아울러 檢討하였다.

**Abstract:** Water permeation, solute separation and blood compatibility of poly- $\gamma$ -methyl-L-glutamate(PMLG) membranes were investigated. IR spectra study indicates that molecular chains in the prepared membrane exist in the  $\alpha$ -helical conformation. Permeation experiments showed that water flux increased linearly with increasing both applied temperature and pressure. Activation energy calculated from the slope of Arrhenius plot of hydraulic permeability  $K_w$  of the membrane was found to be 9.16 kcal/mole. The result of solute separation through PMLG membrane indicates that solute having molecular weight of more than 20,000 did not permeate. The PMLG membrane showed a good performance when the casting temperature and annealing temperature was in the range of 50° and 60°C. Blood compatibility of the polymer has also been discussed.

\* 이 論文은 1980年度 文教部 학술연구조성비에 의하여 研究되었음.

## 一液相分離用 高分子膜의 合成一

### 1. 序 論

最近 周年동안 比較的 低壓(10kg/cm<sup>2</sup> 以下)에서 分離操作하는 ultrafiltration 用膜으로서 有効한 polypeptide 系膜의 研究가 活發히 進行되어 왔다. 그중 代表的인 材質로는 poly-L-methionine 膜<sup>1</sup>과 그 酸化膜, poly-n-alkyl-L-glutamate膜<sup>2</sup>, poly-L-leucine膜<sup>3</sup>, poly-γ-benzyl-L-glutamate膜<sup>4</sup>, 그밖에 hydrogel狀의 poly-γ-methyl-L-glutamate 膜<sup>5</sup>, copoly(γ-benzyl-L-glutamate-L-leucine)膜<sup>6</sup>, polybutadiene과 poly-γ-benzyl-L-glutamate<sup>7</sup>, polybutadiene과 poly-γ-methyl-L-glutamate<sup>8</sup>, polybutadiene과 poly-N<sup>ε</sup>-carbobenzoxy-L-lysine<sup>9</sup>의 tri-blockcopolymer膜 等이 있다. polypeptide系膜의 長點은 다른 plastic系膜보다 液體 및 氣體透過性이 優秀하여 人體의 基本構成物質인 蛋白質과 類似構造를 가진다는 點이다. 이런點을 감안할 때 抗血栓性이 要求되는 醫療用人工腎臟透析膜 또는 人工心肺에 使用하는 것이 有利할 수 있다.

本實驗에서는 물의 透過性, 分子量이 다른 水溶性溶質의 分離實驗 및 透過機構 製膜條件等과 抗血栓性에 重要한 因子인 臨界表面張力を 구하고 直接 血液과 作用하여 血栓이 生成되는 時間인 clotting time을 測定하였다.

### 2. 實驗方法

#### 2-1. 試藥 및 精製

L-글루타민산：日本 理化學藥品株式會社製品(特級試藥)을 微粉碎하여 赤外線燈照射下에서 6時間 加熱 減壓乾燥後 使用하였다.

메틸알코올：日本 和光純藥工業株式會社製品(純度 99.5% 以上)의 것을 마그네슘으로 脱水處理後 蒸溜하여 無水로 한다음 使用하였다.

1,2-디클로로에탄：日本 和光純藥工業株式會社製品을 친한 黃酸으로 췌고 물로 洗滌한 뒤 K<sub>OH</sub>로 中和後 다시 물로 洗滌하고, CaCl<sub>2</sub>로 1次脫水한 다음 환류하면서 CaH<sub>2</sub>로 2次脫水하고 蒸溜하여 使用하였다.

디옥산：日本關東化學株式會社製品 디옥산 500ml에 친한염산 7ml와 물 50ml를 넣고 室素 통과

下에서 12時間以上 환류시킨 다음 KOH로 1次脫水한 후 다시 금속 Na으로 2次脫水하고 蒸溜하여 使用하였다.

트리에틸아민(TEA)：獨逸 Merck社 製品(特級試藥)을 그대로 使用하였다.

폴리에틸렌글리콜(PEG) 600, 1540, 4000, 6000, 20000：日本 和光純藥工業株式會社製品으로 精製 없이 使用하였다.

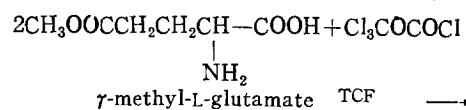
라이소자임：日本 Esai 製藥會社製品을 使用하였다.

以外의 試藥은 脱水後 使用하였다.

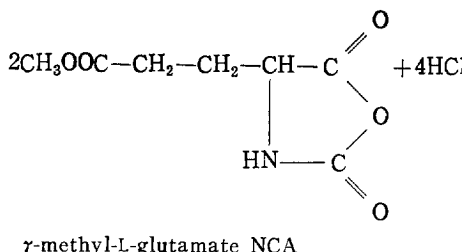
#### 2-2. 重合體 合成

γ-methyl-L-glutamate(γ-MLG)의 合成은 여려가지 方法<sup>9~12</sup>이 있으나 本實驗에서는 水率面이나 NCA合成을 고려하여 岩月 試<sup>13</sup>等의 方法으로 合成하였다. 粉碎乾燥한 L-글루타민산 50g (0.34mole)을 친한염산 42cc(0.408mole)를 含有한 메틸알코올 238ml에 加한 후 溶解시켜 40°C에서 2時間동안 常溫放置한 다음 20°C로 유지시킨 후 트리에틸아민(TEA) 44.5g(0.442mole)을 滴加하여 γ-MLG 結晶을 析出시킨다. 하룻밤 冷藏고에서 放置한 후 여과하고 차가운 메틸알코올로 씻은 후 漂白剤로 한다. mp 183~184°C인 白色鱗片狀結晶을 얻었다(文獻值<sup>10~13</sup> 184~187°C). 收率은 78%였다. γ-MLG 合成에 있어 γ-MLG·HCl의 脱HCl과 TEA·HCl를 제거하기 위해서 生成한 γ-MLG를 200ml의 脱水한 메틸알코올에 녹인 다음 0°C 以下로 차게하고 6g의 암모니아를 含有한 100ml 메틸알코올을 小量씩 加하여 結晶體를 析出시킨다. 이것을 여과하고 50ml의 메틸알코올을 加한 다음 混合物을 20分동안 환류하여 염화암모늄을 제거하고 여과한 후 무수에탄올로 再結晶한다.

γ-MLG N-carboxy anhydride(NCA)는 포스제法으로 合成하였다. 反應式은 다음과 같다.



## 重 享 金 · 用 金



*γ*-MLG NCA의 포스忏合成法<sup>9,13~16</sup>에는 비슷한 여러 方法이 있으나 操作이 편리하고 수율도 우수한 것으로 알려진 trichloromethylchloro formate (TCF)<sup>17</sup>를 사용하였다. *γ*-MLG 10g을 精製한 디옥산 50cc에 혼탁시켜 40°C로 유지한 뒤 TCF 9.689cc(30% excess)를 31cc의 디옥산에 녹인 溶液을 3~5分間に 걸쳐 滴加하고 40~50°C에서 約 30分間 反應하면 투명한 液을 얻는다. 反應物을 40~60°C로 恒温下에서 濃縮하여 약간의 赤褐色을 띠는 油狀物을 얻는다. 이것에 디클로로에탄 31cc를 加하고 60°C로 加熱한 뒤 0°C까지 서서히 冷却하여 結晶을 析出시키고 다시 -20°C로 하룻밤 放置한 다음 glass filter로 여과하여 얻어진 NCA 結晶의 5배 重量으로 디클로로에탄을 加하여 60°C에서 녹인 후 앞과 같은 方法으로 NCA 結晶을 精製한다. 수회 반복하여 重合低害要因인 유리염소의 含量이 比濁法에 의한 定量으로 0.036% 이하인 매우 순수한 NCA를 얻었다. mp 94° C인 白色鱗片狀의 結晶을 얻었다. (文獻值<sup>13,16</sup> 94°C~98°C)

### 2-3. 重 合

*γ*-MLG NCA를 均一系重合溶媒인 디클로로에탄에 3%로 녹여 高重合度開始劑로 알려진 TEA 0.1M 용액으로 A/I를 50으로 조정 실리카겔튜브를 부착한 삼각플라스크에서 30°C로 3日間 重合하였다. 重合體를 精製하기 위해 메틸알코올에 부어 침전시키면 變性<sup>9(a)</sup> 일어나 랜덤 용매인 dichloroacetic acid(DCA), trifluoroacetic acid(TFA) 밖에 完全히 녹지 않으므로 重合溶液을 바로 膜製造에 使用하였다.

坂元<sup>18</sup>等의 粘度式에 의해 구한 平均 分子量은 33,000이었다. 使用한 溶媒는 dichloro acetic acid

이다.

$$[\eta] = 2.24 \times 10^{-3} \times \bar{M}^{0.59} (\text{DCA } 25^\circ\text{C})$$

### 2-4. 製 膜

3% 重合源液을 여과하고 tape로 일정한 두께로 조정된 유리판 위에 流延한 다음 溶媒를 약 1시간 蒸發시킨 다음 常温에서 물속에 沈漬하여 膜을 分離하였다. 이 膜을 48시간 이상 60°C로 減壓乾燥하여 溶媒를 完全히 증발시켰다. 이렇게 얻은 膜을 Shimadzu社 thicknessmeter로 測定한結果 두께는 5~20μm였다.

### 2-5. Conformation의 確認

10μm PMLG膜을 Infrared Spectrometer로 測定한 結果 Fig. 1과 같은 spectrum을 얻었다. 使用한 IR spectrophotometer는 Beckmann Model 18-A였다. Fig. 1에서 보듯이 1,650cm<sup>-1</sup>의 amide I, 1,545cm<sup>-1</sup>의 amide II, 615cm<sup>-1</sup>의 amide V band로 보아 製造한 膜이 α-helix 구조로 되어 있음을 確認<sup>19</sup>하였다.

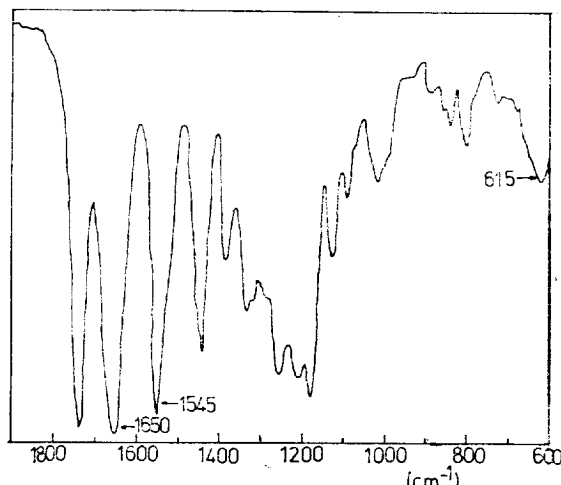


Figure 1. Infrared Spectrum of PMLG Membrane.

### 2-6. 透 過 實 驗

透過裝置는 前報<sup>3</sup>와 같은 裝置를 使用하였다. 裝置의 부피는 350ml이고 有効膜面積은 12.6cm<sup>2</sup>이다. 透過裝置를 热온을 중탕기에 넣어 温度를 조절하여 25°C부터 60°C까지의 water flux를 測

定하였다. 加壓은 窒素ガス를 使用하여 1기압부터 4기압의 범위에서 實驗하였고 water flux는 다음과 같은 式으로 膜을 透過한 透過水를 坪量하여 計算하였다.

$$J_w = \frac{\text{透過量}(mole)}{(\text{有効膜面積})(cm^2) \times (\text{透過時間})(sec)}$$

## 2-7. 水溶性 溶質의 分離

Urea, PEG 600, 1,540, 4,000, 6,000, 20,000, lysozyme(分子量 144,000 ± 100)을 水溶性溶質로 分離實驗을 하였다. 透過原液의 濃度는 lysozyme 은 0.5%로 나머지는 5%로 하였다. 原液을 透過裝置와 同一한 裝置에 넣고 2기압으로 加壓하여 flux가 定常狀態에 도달했을 때 透過液을 採取하여 濃度를 決定했다. 濃度는 屈折率를 測定하여 얻은 標準曲線으로부터 구하였다. 屈折率은 日本 Erma 光學株式會社의 精密 Abbe refractometer 를 使用하였다.

溶質排除率( $R$ )은 다음式으로 計算하였다.

$$R = \frac{C_s - C'_s}{C_s} \times 100(\%)$$

여기서  $C_s$ 와  $C'_s$ 는 각각 透過原液과 透過液의濃度이고 原液의濃度는 分離實驗中 實驗誤差內에서 거의 变하지 않았다.

## 2-8. 接觸角과 血液凝固時間의 測定

유리판 위에 PMLG 용액을 도포전조하고 60°C에서 감압건조하여 용매를 완전 증발시킨 후 그 위에 小量의 여러 液體를 떨어뜨려 生成된 放울의 높이와 너비로부터 接觸角를 測定하였다. 測定은 最小 5~7回 반복 operation했다. 接觸角은 日本 Erma 光學株式會社의 Model G-1을 使用하였다.

血液凝固時間(C.T)의 測定은 PMLG 溶液을 지름 10mm 길이 70mm의 試驗管 내벽에 도포한 다음 전조하고 60°C에서 감압 건조하여 용매를 완전히 제거한 뒤 36.5°C로 유지한 항온조에서 Lee-White<sup>20</sup>法으로 測定하였다.

## 3. 結果 및 考察

### 3-1. 透水性

PMLG膜을 透過하는 물의 flux  $J_w$ (mole/cm<sup>2</sup>·

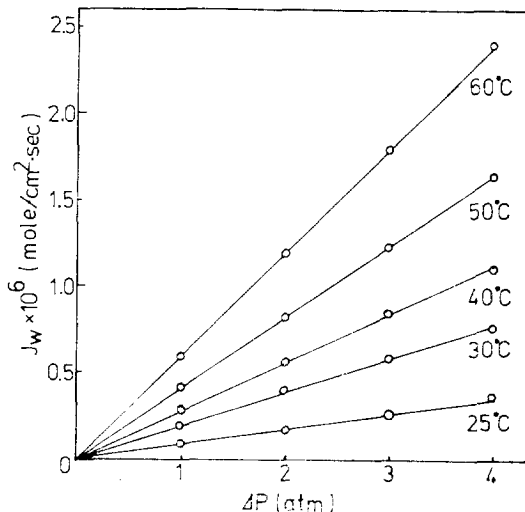


Figure 2. Water flux vs. applied pressure at different temperature through PMLG membrane. Thickness 15μm.

sec)와 壓力  $\Delta P$ (atm)와의 關係를 각각의 温度에 따라 plot하면 Fig. 2와 같다. Water flux는 壓力과 温度가 증가함에 따라 直線的으로 증가하였다. 이로보아 膜에 대한 壓密化效果는 없는 것으로 간주된다.

Spiegler<sup>21</sup>와 Kedem<sup>22,23</sup>等의 마찰 model에 의하면 hydraulic water flux  $J_w$ 는 壓力구배  $\Delta P/\Delta x$ 에서 아래와 같이 表現된다.

$$J_w = \frac{S_w \cdot C_w \cdot V_w}{f_{wm}} \cdot \frac{\Delta P}{\Delta x} \quad (1)$$

여기서  $S_w$ 는 膜과 溶液에 대한 물의 分配係數이고  $C_w$ 는 인접溶液內의 물의 mole濃度이며  $V_w$ 는 물의 mole 부피이다.  $\Delta P$ 는 操作壓力  $\Delta x$ 는 膜두께를 表示한다.  $f_{wm}$ 은 물과 膜사이의 mole摩擦係數이다.  $S_w$ 는 一定重量의 膜이 受容하는 물을 容積分率로 나타낸 膜의 水和度  $H$ 와 近似的으로 일치한다.

그런데 이 경우에 인접溶液이 純粹한 물이기 때문에  $C_w \cdot V_w = 1$ 이 되며 (1)식은 다음과 같다.

$$J_w = \frac{S_w}{f_{wm}} \cdot \frac{\Delta P}{\Delta x} = K_w \cdot \frac{\Delta P}{\Delta x} \quad (2)$$

여기서  $K_w$ 는 hydraulic permeability이다. (2)식은 膜內의 물의 含量이 적고 어떠한 bulk flow도 일어나지 않을때만 有効하다.

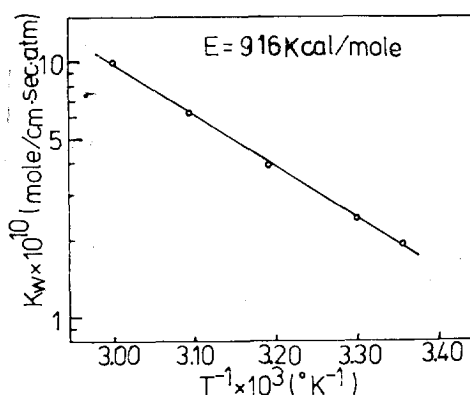


Figure 3. Temperature dependence of hydraulic permeability  $K_w$  of water through PMLG membrane.

本實驗에서 水和度  $H$ 의 測定은 充分히 乾燥된 膜과 물로 膨潤된 膜의 重量差를 數回 반복 測定하여 그 平均值를 溶積分率로 나타냈다.

또 Fig. 2로부터  $K_w$ 를 구하여 Arrhenius plot 하면 직선을 얻는데 기울기로부터 活性化 energy 9.16kcal/mole을 얻었다. 이 값은 물의 粘性係數로부터 얻은 걸보기 活性化 energy의 値 4kcal/mole<sup>24</sup>보다 커서 膜內의 water flow가 rigid capillary를 통한 粘性흐름이 아니라는 것을 알 수 있다.

Fig. 2로부터 25°C에서의  $K_w$ 값을 구하고 Cellulose系膜, PBLG膜 및 PLL膜의  $K_w$ 값과 비교한 바 PMLG膜은 cellulose diacetate膜보다 약 10배 이상 커고 cellulose triacetate膜보다는 100倍나 커다. 그리고 PBLG 및 PLL과는 비슷한 値를 나타내고 있다. 이들의  $K_w$ 값은 각각  $3.9 \times 10^{-10}$ 과<sup>4</sup>  $2.8 \times 10^{-10}$ 이며<sup>3</sup> diacetyl cellulose와 triacetyl cellulose의  $K_w$ 는 각각  $1.59 \times 10^{-11}$ 과<sup>25</sup>  $5.60 \times 10^{-12}$ 이다<sup>25</sup>.

이러한 現象은 Fujita<sup>26</sup>等의 自由容積理論으로 說明할 수 있다. 式(2)에서  $K_w$ 는  $f_{wm}$ 에 대한  $S_w (=H)$ 의 比이다.  $H$ 의 値은 實驗 범위내의 温度에서 温度에 무관하기 때문에  $K_w$ 는  $f_{wm}$ 에 반비례한다고 할 수 있다. 系의  $f_{wm}$ 은 polymer의 粘度와擴散現象의 경우처럼 系의 自由容積 函数가 된다고 생각할 수 있다. Cohen과 Turnbell<sup>27</sup>에 의

해 도입된 自由容積式의 適用은 수화도  $H$ 가 어떤 温度  $T$ 에서 一定할 때  $f_{wm}$ 은 아래식과 같아 나타내진다.

$$f_{wm} = A \exp\{V^*/V_f(H, T)\} \quad (3)$$

여기서  $A$ 는 常數이고  $V^*$ 는 脲과分子 cluster의 臨界容積으로 表示되는 特性值이며  $V_f(H, T)$ 는 温度  $T$ 에서 水和度  $H$ 인 系의 部分自由容積(fractional free volume)이다. 温度依存要素인 물과 膜에 대한 線膨脹係數를 각각  $\alpha, \beta$ 라 하면  $f_{wm}$ 의 温度依存은 다음과 같다.

$$\frac{1}{\ln[f_{wm}(H, T_r)/f_{wm}(H, T)]} = \frac{1}{V^*} [V_f(H, T_r) + \frac{V_f^2(H, T_r)}{\alpha H + \beta(1-H)} \cdot \frac{1}{(T-T_r)}] \quad (4)$$

여기서  $T_r$ 는 reference temperature이다.  $f_{wm}(H, T_r)$ 와  $f_{wm}(H, T)$ 는  $K_w$ 가  $f_{wm}$ 에 反比例하기 때문에 각각에  $K_w(H, T)$ 와  $K_w(H, T_r)$ 을 代入하면  $1/\ln[f_{wm}(H, T_r)/f_{wm}(H, T)]$ 와  $1/(T-T_r)$  사이에 Fig. 4와 같은 直線關係가 成立하여 기울기에  $\alpha(2.4 \times 10^{-4}/\text{deg})^{28}$ ,  $\beta(7.1 \times 10^{-5}/\text{deg})^2$ 를 代入하면  $V_f(H, T_r)$ ,  $V^*$ 를 구할 수 있다. 臨界自由容積  $V^*$ 는 側鎖의 크기가 比較的 큰 PMLG가 PLL, cellulose diacetate, cellulose triacetate膜보다 큰값을 나타내고 있는 반면  $V_f(H, 25)$ 는 상대적으로 작은데 이런 結果는 PMLG膜이 cellulose acetate系膜보다 水和度는 적어도 比較的 큰 물 cluster를 透過시킬 수 있어  $K_w$ 가 더 큰 사실을 說明해 준다.

PMLG膜의 測定값은 다음과 같다.

$K_w$ (at 25°C)	$H$	$E(\text{kcal/mol})$	$V_f(H, 25)$	$V^*$
$1.91 \times 10^{-10}$	0.062	9.16	0.016	0.2667

### 3-2. 水溶性溶質의 分離

PMLG膜의 水溶性溶質에 대한 排除率을 Table I에 나타내었다. 操作壓力은 2atm이고 操作溫度는 37°C 溶媒蒸發溫度는 60°C로 热處理는 하지 않았다.

Table I에서 보는 바와 같이 分離溶質의 分子量이 증가하면 排除率이 증가하는一般的의 傾向을 나타내는데 分子量이 20,000以上일 때의 排除

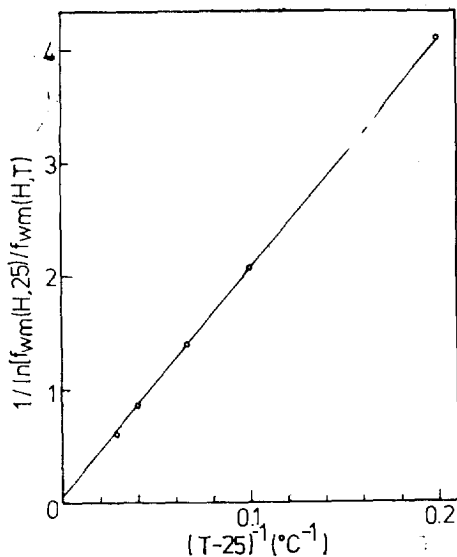


Figure 4. Relationship between  $1/\ln[f_{wm}(H, T_r)/f_{wm}(H, T)]$  and  $1/(T, 25)$  for water permeation through PMLG membrane.

Table I. Separation of water soluble solutes through poly- $\gamma$ -methyl-L-glutamate membrane.

溶質	分子量	Rjection(%)
Urea	60.06	4
PEG 600	600	10.1
PEG 1,540	1,540	54.2
PEG 4,000	4,000	60.4
PEG 6,000	6,000	68
Lysozyme	$14,400 \pm 100$	75
PEG 20,000	20,000	80.4

率이 우수함을 예상할 수 있다. 또 操作壓力에 따른 溶質排除率의 변화를 볼 수 없었는데 이것은 低壓操作으로 壓密化効果가 없기 때문인 것으로 생각된다.

### 3-3. 膜特性

#### 3-3-1. 溶媒蒸發溫度

유리판위에 高分子溶液을 流延하여 30~70°C 범위의 온도에서 製膜할 때 각 膜의 溶媒蒸發溫度에 따른 flux와 排除率을 Fig. 5에 나타내었다.

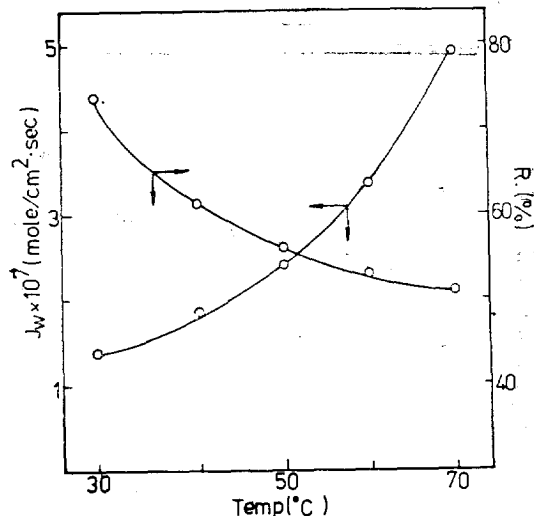


Figure 5. Effect of solvent evaporation temperature on membrane characteristics. Conditions of measurement; 37°C, 15μm, 5% PEG 1,540, 2atm.

溶媒蒸發溫度가 80°C以上일 때는 용매인 디클로로에탄의 끓는 점에 가까워 均一한 膜을 얻을 수 없었다.

溶媒蒸發溫度에 따라 flux는 증가하나 전반적으로 排除率은 감소하는 傾向을 보인다. Fig. 5에서 보는 바와 같이 50~60°C에서 製膜할 때 flux와 溶質排除率을 最大로 할 수 있음을 알았다.

#### 3-3-2. 热處理効果와 膜두께

PMLG膜을 一定한 温度로 유지시킨 热處理에서 2時間以上热處理했을 때 膜特性에 미치는 영향을 Fig. 6에 나타내었다. 热處理溫度가 60°C以上에서 flux는 별 변화가 없으나 溶質排除率은 급격히 감소한다. 이는 cellulose acetate膜과는 反對傾向을 나타내고 PBLG나 PLL膜과는 약간 다른 傾向을 보여준다. 이것은  $\alpha$ -helix를 사이의 側鎖間隔이 벌어져 cellulose acetate膜과는 反對性質을 나타내는 것으로 보여지며 热處理溫度가 증가하면 溶質排除率이 다른 polypeptide膜(PBLG膜, PLL膜)보다 비교적 더 감소하는 傾向을 보여주고 있는데 이것은 側鎖의 特性으로부터 오는 結果로 여겨지는 것으로 더 구체적인 研究가 수행되어야 할 것으로 보여진다.

Fig. 7은 두께가 5μm부터 20μm 사이에 있는

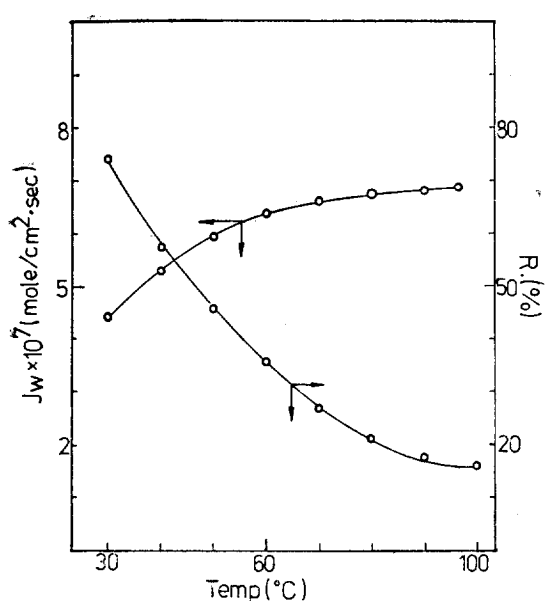


Figure 6. Effect of annealing temperature on membrane characteristics. Condition of measuring membrane performance: 37°C, 5% PEG 1,540, 2atm.

膜의 flux와 排除率을 調査한 結果이다. 膜두께가 증가함에 따라 flux는 줄어드는一般的變化를 보여주고 있으나 溶質排除率은 20μm以上부터는 별로 커지지 않을 것으로 여겨진다.

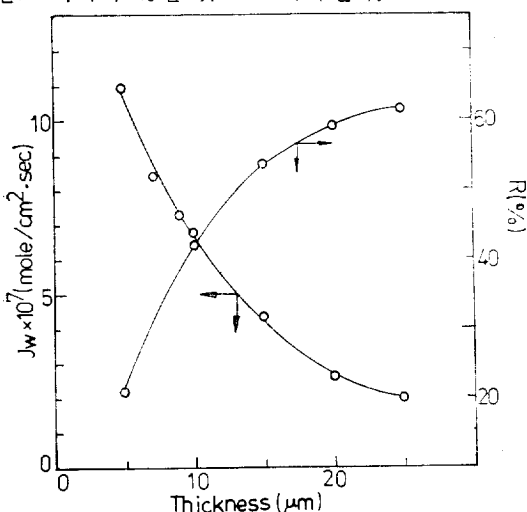


Figure 7. Effect of membrane thickness on membrane characteristics. Conditions of measuring membrane performance: 37°C, 5% PEG 1,540, 2atm.

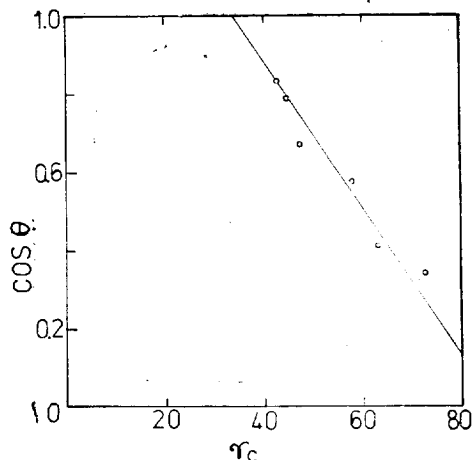


Figure 8. Zisman plot of PMLG membrane.

### 3-4. 表面張力과 抗血栓性

#### 3-4-1. 臨界表面張力

接觸角을 測定하여 臨界表面張力を 구하는 方法은 Zisman<sup>29</sup>等에 의해 開發되었다. PMLG 表面과 물, 에틸렌글리콜, 디에틸렌글리콜, 글리세린, 포름아마이드 및 아닐린 等의 液體와의 接觸角  $\theta$ 를 測定하고  $\cos\theta$ 와 위 液體들의 表面張力を plot하여 Fig. 8과 같은 直線을 얻었다. 여기서  $\cos\theta$ 값을  $\cos\theta=1$ 까지 外挿하여 臨界表面張力 34dyne/cm를 求했다. 이 값은 Baier<sup>30</sup>等의 研究結果 血液適合性이 좋은 材質의 臨界表面張力인 20~30dyne/cm의 範圍에 들지 않고 있다.

#### 3-4-2. 血液凝固時間

Lee-White法에 의한 血液凝固時間を 測定하여 血液適合性을 檢討하였다. Lee-White法은 *in vitro*로 標準的인 抗血栓性試驗法의 하나이다. PMLG를 塗布하지 않은 試驗管의 凝固時間은 9.5分였으나 塗布한 試驗管內의 凝固時間은 28.5分였다.

이와같은 時間은 前報<sup>6</sup>의 copolyptide보다 全般的으로 긴 時間이나 疏水性인 側鎖를 갖는 leucine이 多量 含有된 copolyptide보다는 凝固時間이 짧다. Lyman<sup>31</sup>은 疏水性材料가 抗血栓性이 있다고 하는데 PMLG膜은 側鎖의 methyl-ester의 carbomyl基가 水素結合能力을 가지고 있기 때문에 親水性에 가까워 抗血栓性이 줄어드는

것으로 여겨진다.

#### 4. 結論

以上의 結果를 綜合해 보면, 다음과 같은 結論을 얻을 수 있다.

1. PMLG膜을 通한 물의 透過는  $\alpha$ -helix를 사이의 側鎖領域에서 일어난다 할 수 있으며
2. PMLG膜의 hydraulic permeability  $K_w$ 로부터 구한活性化 energy 값으로부터 膜內에서의 물의 흐름이 毛細管을 通한 粘性흐름이 아니라는 것을 示唆하며,
3. 水溶性溶質의 分離에 있어서一定分子量(약 20,000 以上)에서는 거의 完全한 分離가 이뤄질 가능성을 보여주었고,
4. PMLG膜의 製膜條件은 溶媒蒸發溫度와 热處理溫度가 50~60°C일 때, 膜두께는 15 $\mu\text{m}$  정도 일 때 分離 및 透過가 좋았다.
5. 抗血栓性은 아주 좋은 편은 아니나 一般高分子들 보다는 우수한 편이다. 疏水性基를 가진 아미노산과 共重合하면 보다 抗血栓성이 큰 分離膜을 만들 수 있을 것으로 보여지므로 의료用分離膜으로서의 사용 가능성이 있다.

#### 引用文獻

1. N. Minoura, Y. Fujiwara, and T. Nakagawa, *J. Appl. Polym. Sci.*, **22**, 1593(1978)
2. A. Takizawa, T. Taniguchi, I. Yamamuro, T. Tsujita, T. Nakagawa and N. Minoura, *J. Macromol. Sci., Phys.*, **B13**(2), 203 (1977)
3. K. Y. Kim and Y.M. Lee, *Polymer(Korea)*, **3**, 260(1979)
4. K. Y. Kim, Y.M. Lee and J.H. Ko, *Polymer (Korea)*, **4**, 499(1980)
5. E. Klein, P.D. May, J.K. Smith and N. Legar, *Biopolymer*, **10**, 647(1971)
6. K. Y. Kim and J.H. Ko, *Polymer(Korea)*, **5**, 44(1981)
7. A. Nakajawa, K. Kugo and T. Hayashi, *Polym. J.*, **11**, No.12, 995(1979)
8. A. Nakajima, Reprint of 1<sup>st</sup> Korea-Japan, Joint Symposium on Polym. Sci. and Tech. Oct. 23-24(1979) p.11.
9. 藤本康夫 編著 “ポリアミノ酸” 講談社, 1974
10. 赤堀四郎, 成田耕造, 日化, **74**, 829(1953)
11. M. Bergman, L. Zervas, L. Sultzman, *Ber* **66**, 1288(1933)
12. 田中正生, 賢志光公佳, 木下祝郎, 農化, **34**, 782(1960)
13. 岩月誠, 森茂郎, 櫻井節二, 高分子化學, **28**, No. 318, 800(1971)
14. A.C. Farthing, *J. Chem. Soc.*, 3213(1950)
15. R.B. Woodward and C.H. Schram, *J. Am. Chem. Soc.*, **69**, 1551(1947)
16. S. Sugai, K. Kamashima, S. Makino and J. Noguchi, *J. Polym. Sci.*, **A-2**, **4**, 183 (1966)
17. 保士ヶ谷化學 株式會社 Catalog.
18. 坂元降一, 岡本有子, 第19回 高分子學會年次大會講演要旨集, p.382(1970)
19. N. Minoura, T. Nakagawa, *J. Appl. Polym. Sci.*, **23**, 2729(1979)
20. R.I. Lee and P.D. White, *Am. J. Med. Sci.*, **145**, 495(1913)
21. K.S. Spiegler, *Trans. Faraday Soc.*, **54**, 1508(1958)
22. K.S. Spiegler and O. Kedem, *Desalination*, **1**, 311(1966)
23. O. Kedem and A. Katchalsky, *J. Gen. Physiol.*, **1**, 311(1966)
24. R.A. Horme, Water and Aqueous Solutions, Wiley, New York, 1972
25. M. Kawaguchi, T. Taniguchi, K. Tochigi and A. Takizawa, *J. Appl. Polym. Sci.*, **19**, 2515(1975)
26. H. Fujita, Diffusion in Polymer, J. Crank and G.S. Park, Eds., Academic Press, New York, 1968
27. M.H. Cohen and D. Turnbull, *J. Chem. Phys.*, **31**, 1164(1959)

金啓用・金享重

28. C.D. Hodgman, R.C. West, and M.S. Selly, Ed., *Handbook of Chemistry and Physics*, The Chemical Rubber Publishing Co., Cleveland, 1960
29. H.W. Fox, W.A. Zisman, *J. Colloid. Sci.*, 7, 109(1952)
30. R.E. Baier, *Bull. NY Acad. Med.*, 48, 257 (1972)
31. D.J. Lyman, *Ann. NY Acad. Sci.*, 146, 113 (1968)